

MAR 19 1912

TSN

Seismische Registrirungen

des

Kaiserlichen Observatoriums in Tsingtau.

Heft 1.

Januar 1909 bis 1. April 1910.

Deutsch-Chinesische Druckerei und Verlagsanstalt, Walther Schmidt.

Das Kaiserliche Observatorium in Tsingtau ($l=120^{\circ} 19'$, 2 östl. Gr. $b+36^{\circ} 4' 2''$) wurde im Herbste 1908 mit einem Seismographen ausgerüstet. Selbst von nennenswerten Erdbeben verschont, auf felsigem Untergrunde, der offenbar zu einer grossen Scholle gehört, ist Tsingtau für seismische Beobachtungen sehr günstig gelegen, da es innerhalb von 5000 klm Entfernung auf fast allen Seiten von bekannten Erschütterungsgebieten umgeben ist. An das Erdbebengebiet der Mandschurei im Norden schliesst sich die lange in Sachalin beginnende Linie der japanischen Herde an, die im Süden ihre Fortsetzung findet auf den Philippinen, Celebes, Java, Sumatra. Es folgen dann im Westen die ausgedehnten Erdbebengebiete des Himalaya, in Turkestan und noch weiter nördlich die des Baikalsees.

Vorläufig ist das Observatorium nur ausgerüstet mit einem kleinen astatischen Pendel der bekannten Wiechert'schen Konstruktion, ausgeführt von der Firma Spindler & Hoyer in Göttingen.

Die Pendelmasse beträgt 200 klgr., die Indikatorvergrösserung ist seit . . ? . . etwa 100 und betrug früher etwa 150. Die Eigenperiode wird möglichst auf 10s gehalten. Das Instrument steht in 60 m Seehöhe auf dem gewachsenen Felsen. Die Registriergeschwindigkeit schwankt zwischen 10 und 11 mm pro Minute. Die Zeitmarken gebende Uhr wird täglich mit der Hauptuhr des Observatoriums verglichen, ihr Gang ist infolge der gleichmässigen Temperatur und Feuchtigkeit des Aufstellungsortes sehr regelmässig. Es wird beabsichtigt, die Minuten- und die Stundenmarken durch zwei getrennte Stromkreise zu geben. Versagt dann einmal der eine, so hat man doch die Zeit mit Hilfe des anderen mit einiger Sicherheit.

Bei dem Seetransporte des Instrumentes nach hier wurden die Kisten nicht mit der nötigen Sorgfalt behandelt, so dass das Instrument in ziemlich ruiniertem Zustande hier eintraf. Starke Eisenbolzen waren gebrochen und viele Teile gänzlich verbogen. Wenn es dem damaligen militärischen Personale der Station, welches dem Instrumente vollständig fremd gegenüber stand, gelang, dasselbe doch gebrauchsfähig wieder zusammen zu bauen, so ist dies nicht allein ein Zeichen grossen Fleisses und Geschickes des Personals, sondern auch ein gutes Zeichen für die einfache und übersichtliche Konstruktion des Wiechert'schen Pendels.

Die Anlage des Raumes, in dem das Instrument aufgestellt ist, zeigt beistehende Skizze. Am Südhang des Observatoriumberges ist ein 3.0 m zu 3.5 m grosser und 2.3 m hoher Raum zum Teil in den Felsen hineingebaut. Der Boden ist der gewachsene Felsen, mit Cement ausgeebnet. Die Wände sind aus Bruchstein ausgeführt und $1/2$ m stark. Nach oben ist der Raum durch eine Eisenbetondecke abgeschlossen. Die einzige Öffnung dieses Raumes, der elektrisch beleuchtet wird, ist die Tür, welche ihn mit dem etwas kleineren aber genau ebenso gebauten Vorräume verbindet. In diesem befindet sich die Vorrichtung zum berussen des Papiers. Ein in einen Schacht gehendes Fenster

gestattet eine rasche Lüftung dieses Vorraumes, zu dessen gedeckter Eingangstür eine Treppe von oben hinabführt. Das sich in den Räumen event. sammelnde oder auf der Treppe hinabfliessende Wasser geht durch ein in der Nähe der Tür angebrachtes Abflussrohr ab. Der ganze Bau ist hoch mit Erde und Rasen bedeckt, um ihn gegen die täglichen Temperaturschwankungen möglichst zu schützen.

Der Raum litt anfänglich sehr an Feuchtigkeit. Auch ein hineingestellter Petroleumofen konnte dem natürlich nicht abhelfen, da die Verbrennungsprodukte wegen mangelnder Ventilation im Raume verblieben und durch ihre fetten Niederschläge das Uebel nur verschlimmerten. Ein Abzugsrohr für den in der Süst-Ost-Ecke stehenden Petroleumofen brachte hier erst Wandel. Die Lampe des Ofens steht unter einem engen, sich unten trichterförmig erweiternden Rohre, das bis unter die Decke führt, dort umbiegt und mit leichtem Gefälle an der Wand hin bis in den Vorraum und von dort durch die Mauer nach aussen und dann nach oben führt. Die abziehende heisse Luft giebt fast alle Wärme auf dem langen Wege durch das Rohr an dieses und damit an den Raum ab. Das sich hierbei ausscheidende Wasser fliesst nach dem Vorraume zu, wo es aus einer feinen Öffnung in ein Sammelgefäß austropft. Eine Schutzkappe auf dem äussersten Ende sowie die Enge des sich erst über der Lampe erweiternden Rohres ermöglicht selbst bei starken Böen ein ruhiges Brennen der Lampe und gleichzeitig genügende Ventilation. Das Rohr ist leicht auseinander zu nehmen und zu reinigen. Frische Luft erhält Zutritt durch das ein wenig geöffnete Fenster in den Vorraum und von diesem durch die etwa eine Handbreit geöffnete Tür in den eigentlichen Instrumentenraum. Die Vorrichtung hat sich vorzüglich bewährt. Während früher Fussboden und Wände stets nass waren, sind dieselben jetzt selbst in der Regenzeit absolut trocken. Betrug die Feuchtigkeit der Luft vordem im allgemeinen 90%, so hält sie sich jetzt durchschnittlich unter 80%. Die Luft ist jetzt rein und erlaubt längeres Arbeiten im Raume, was früher kaum möglich war. Die trockene Luft scheint noch einen anderen Vorteil gebracht zu haben, der nicht hoch genug bewertet werden kann. Dem Ungeziefer, vor allem den Spinnen, scheint die Trockenheit nicht zuzusagen. Der frühere stetige Kampf mit denselben ist jetzt vollständig erloschen. Welche Erleichterung dieses dem Betriebe verschafft, weiss jeder, der einmal ein empfindliches Instrument frei von Spinnenfäden und allerhand Ungeziefer in einer mit solchen gesegneten Gegend hat halten müssen.

Die Erdbebendiagramme von Ende 1908 bis zum 31. Dezember 1909 befinden sich beim Geophysikalischen Institute in Göttingen, die vom 1. Januar 1910 ab beim hiesigen Observatorium, welches gerne einzelne derselben leihweise respektive in Kopien an Bearbeiter von Beben abgibt.

Die Aufstellung eines Vertikalpendels und eines grösseren Horizontalpendels ist für später geplant.

Im folgenden sind die seismischen Registrierungen von 1. Januar 1909 bis 31. März 1910 gegeben.

Die Bezeichnungen sind dieselben wie die in den Veröffentlichungen des Geophysikalischen Institutes in Göttingen gebräuchlichen. Es bedeuten also:

Phasen

P = erster Vorläufer
S = zweiter Vorläufer
L = lange Wellen
M = Maximum
C = Nachläufer
F = Erlöschen der Bewegung

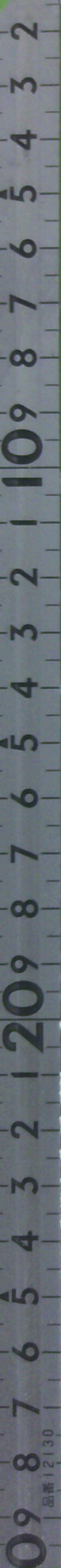
Art der Bewegung

i = Einsatz
e = Auftauchen
P = Ganze Schwingungsdauer
A = Ganze Amplitude. in $\frac{1}{1000}$ Millimeter
 Δg = Grösste Beschleunigung während einer Schwingung, in $\frac{1}{1000}$ Gal.

Die Zeit ist mittlere Greenwicher bürgerliche Zeit.

Die Amplituden der Bodenbewegungen sind aus den Diagrammen gerechnet unter Berücksichtigung der Eigenperiode und Dämpfung des Pendels nach der von L. Wiechert in der „Theorie der automatischen Seismographen“ gegebenen Formeln. Wo es angängig war, ist die Richtung, in der die erste Bodenverschiebung stattfand, angegeben worden.

Dr. phil. Br. Meyermann.
Direktor des Observatoriums.



Seismische Registrierungen in Tsingtau 1909

Nummer	Datum 1909	Charakter	Phase	Zeiten. (Greenwich)		Periode	A_N	A_E	Δg_N milligal	Δg_E milligal	Bemerkungen.
				h	m						
1	Jan. 23	II v	i. M	11	16.8						
2	Feb. 5	I	i M	15	41.1						
3	" 22		F	15	48.6						
4	" 22		Pe	9	34.9						
5	März 9		L	10	42.2						
6	" 12		F	21	9.7						
7	" 13		Pe	21	13.7						
			F	23	19.7						
			Pe	23	55.6						
			L	24	1.2						
			C	24	6.2						
			F	19.							
			Pe	23	21.5						
			S	24	9						
			L	25	9						
			M ₁	26	7						
			M ₂	28	6						
			M ₃	30	3						
			M ₄	31	8						
			C	33	8						
			F	24	29.						
			Pe	14	32.1						
			L	36.0							
			C	43.1							
			F	15	19.6						

Gespürt im Lauschan (Gebirge in Ost-Schantung)

Seismische Registrierungen in Tsingtau 1909.

5

Nummer	Datum 1909	Charakter	Phase	Zeiten. (Greenwich) Zeit	Periode	Amplitude		Bemerkungen.
						A_N	A_E	
8	März 17		P _e	22	31.0			
			M		31.2			
9	" 17		F	23	0.6			
			P _e		9.8			
			S					
			L		14.4			
			C		15.8			
			F		51.			
10	" 22		P _e	18	45.6			
			S		49.3			
			L		51.4			
			C		54.5			
			F	19	10.0			
11	" 23		P _e	4	29.9			
			S		35.9			
			L		37.6			
			C		38.7			
			F		56.			
12	April 10		P _e	20	27.4			
			S		47.4			
			L		52.6			
			M ₁		53.6			
			M ₂		57.8			
			M ₃		58.6			
			F	22	5			

Seismische Registrierungen in Tsingtau 1909.

Nummer	Datum 1909	Charakter	III v	Phase	Zeiten. (Greenwich) Zeit	Periode	A_N	A_E	Δg_N	Δg_E	Bemerkungen.	
											milligal	zerstörendes Beben auf Formosa.
13	April 14			Pi	20 56.4							
		Mi		C	21 58.8							
		F		F	12 4.2							
		Pe		L	13 38.							
14	" 27			C	12 51.1							
		F		C	13 57.8							
		Pe		F	13 18.8							
15	Mai 11			Pe	15 39.8							
		L		F	15 58.3							
		M ₁		L	16 4.3							
		M ₂		M ₁	16 5.3							
		F		M ₂	16 8.3							
16	" 30		II r	Pe	21 23.0							
		S		S	21 9.4	3 - 4						
		L		P	15.5	6						
		M		E	19.0	9 - 14	20 - 30					
		C		F	20.0	14	45					
		F		C	23.8							
		iP		F	30.0							
17	Juni 3		III r	iP _N	18 48.6	5						
		iP _E		iP _N	18 50.4							
		iS _E		iP _N	55.0							
		iS _N		iS _N	55.0	15						
		iS _N		iS _N	58.3	32						
		L _E		L _E	59.6	31						
							2100					
								4.1				
									4.1			
										8.8		

Erste Bodenverrückung nach N.
 $S-P = 6, m 1$; 4300 klm. $L-P = 9, m 6$; 4100 klm.

$S-P = 6, m 4$; 4800 klm.
 Erste Bodenverrückung nach S. Zerstörendes Beben
 auf Sumatra (oberes Padang-Tal)
 Dem Maximum sind lange Wellen von etwa 1 m
 Periode überlagert, im Ausläufer treten Schwebungen
 von etwa 2, m 5 Knotenlänge auf.

Seismische Registrierungen in Tsingtau 1909.

7

Datum 1909	Charakter	Zeiten. (Greenwich) Zeit	Phase	Amplitude A_N	Periodo A_E	Δg_N	Δg_E	Bemerkungen.
17. Juni 3		h m	L_N L_N L_N M_E M_N C F Pe M_E	19 1.2 19 6.2 19 3.2 3.6 4.8 12. 20 4 7 4.4 30.4 43.	32 27 22 22 16 1200	830 880 840 2900	1.6 2.4 3.5 9.4	Bei der E.W. Komponente war das Papier zu hart berusst, die Feder hat schlecht geschrieben.
18. „ 8	I u		P M F M	13 11.8 13 19.5 10	7 4	2 - 3 4	0.2 0.1	
19. „ 22	Ir		F M F iP	43.0 43.0 45 6 ?Pa_E	4.5	1 - 2 3	0.1 0.3	
20. Juli 7	II r		?Pa_E ?Pb_E ?Pc_E	45 52 46.7 48.0	6	43	4.2	Erste Bodenverrückung nach E. Gleich nach S sind Wellen von 1 m Periode ange deutet, das Maximum ist nicht deutlich ausgeprägt, S-P = 5 m 44 : 4000 klm.
			S Sa_N	50 50 52.5	16 7	31 75 64	0.6 0.6 2.8	
21. „ 30	I u		F Pe S M C F	23 0 11 21 20 36 0 12 8.0 12 26 13 0	14 14 20	17 13 82	0.2 0.1 0.4	Die E.W. Komponente hat nicht aufgezeichnet. Zwischen P und S war auch die N-S Komp. fast ganz ruhig. Nach S kann merkbare lange Wellen von etwa $1\frac{1}{2}$ m Periode, die zwischen 11h 50 und 55 merkbarer wurden.

Seismische Registrierungen in Tsingtau 1909.

Nummer	Datum 1909	Charakter	Phasen	Zeiten (Greenwich) Zeit	Periode	A_N	A_E	Amplitude		Δg_N milligal	Δg_E milligal	Bemerkungen
								A_N	A_E			
22	Aug. 11.	Ir	e M C F	h 12 26.2 26.5 28.5 35.0	3 - 4	3	2	0.6	0.3	12h 21	werden die mikroseismischen Bewegungen etwas grösser, 12h 24.6 eine etwas marklichere Zacke.	
23	" 14.	IIIr	Pi S M_n " M_E C_E C_n F	6 34.2 3 65.7 39.0 39.9 39.5 45 51 7 22	5 8 13 12 12 12 7	16 590 480	77 15	1.3 6.7 6.7	6.2 0.4	Zerstörendes Beben in Japan (Biwa-See) Erste Bodenverrückung nach ESE. Bei der E-W. Komp. nimmt P in 4 Schwingungen von gleicher Periode ganz regelmässig ab. S ist auf der N-S Komponente nicht deutlich. Es beginnen dort lange Wellen von etwa 45s Periode. Gb 37.8 erste grössere Ausschläge der NS Komp., Gb 38.6 erste grössere Ausschläge der E.W. Komponente. S-P = 2m 55s: 700 klm.		
24	" 22.	Iu	P M F	15 45.0 16 1.5 16 10.		11.1			5 - 6			
25	" 31.	Iu	P M F	12 17 23 32		17			12			

Seismische Registrierungen in Tsingtau 1909.

9

Nummer	Datum 1909	Charakter	Phase	Zeiten, (Greenwich) Zeit			Amplitude A_N	$\Delta g N$	$\Delta g E$	Bemerkungen.
				h	m	s				
26	Aug. 29	II	P	10	32	3	2	0.4	0.4	P fällt in die Minutenmarke.
			S	35	0	6	2	0.1	0.1	
			M	36	40	6	13	0.7	0.7	
			C	37						
27	Sept. 8	I	P	11	0	5 - 6	2	0.2	0.2	
	" 16	Ir	M	16	58	33	8	0.6	0.3	
			Pi	17	5	50	3 - 4	0.5		
28			S	19	45.9	4 - 5	9 - 10	0.8		
			L	49.3			13	0.7		
			M	49.8			10	0.7		
			C	50.3			36	0.7		
			F	51.5			3 - 4	0.5		
29	Okt. 3	I	P	20	3					
	" 20	II u	M	14	3.9	4	7	0.9	1.0	
			C	6						
			F	16						
30			Pe	23	49	21	4 - 5	3	0.5	
			S	55	55	6	7	0.4		
			M _N	24	7	16	16	194	1.5	
			M _P	10	0	16	16	110	0.9	
			C	16.						
			F	25.2						

Erste Bodenverrückung nach S. W.
 Die Minutenmarken versagten an dem Tage, die
 Angaben sind daher nur geschätzt.
 $S-P = 3. m\ 45$; 2000 klm.

Erste Bodenverrückung nach W.
 Die Vorstörungen sind nur von der E.W. Komp.
 merklich angezeichnet. Bei der N-S Komp. beginnt
 die Bewegung um 24h 5.4 mit Perioden von 15s, das
 Maximum liegt bei 7m 16s. Bei 8m 0s ist diese
 Komponente schon wieder in Ruhe, einzelne
 Stöße von etwa 12s Periode folgen um 9m 3, 10.0,
 12.0, 13.0, 14.0, abnehmend von 50 bis 20 n. Bei
 der EW. Komp. sind die Vorläufer gering, von
 23h 56m an wird die Bewegung etwas stärker, be-
 merkenswerte Ausschläge erst von 24h 7m an, dann
 Schwebungen, deren Knoten etwa liegen bei 8m 6,
 11.m 0, 13.m 5, 16.m 4, 19.m 0. Die Kompon. waren
 etwas abhängig voneinander.
 $S-P = 6m\ 34s$; 4700 klm. (Belutschistan)

Seismische Registrierungen in Tsingtau 1909.

Nummer	Datum 1909	Charakter	Phase	Zeiten. (Greenwich) Zeit		Periode	Amplitude A_N	$\Delta g N$	$\Delta g E$	Bemerkungen.	
				h	m						
31	Nov. 7	I v	P _e L M F P _{iN} P _{iE} P _{aE} P _{bE} S M _N M _E C F	20	36.6 38.4 38.9 51.	3 - 4 6 - 7	2 - 3 8 - 10	0.4 0.4	0.4 0.4	0.4	
32	" 10	III r		6	15 46 15 49 16 29 17 9 17 36 19 37 19 48 6 27 7 6 12 44 e M F	11 13 13 13 20 12 11 57	18	395 360 395 1020 700 690 540	0.3 4.7 4.2 4.7 3.9 9.6	4.7 4.2 4.6 8.9	Erste Bodenverrückung nach S, dann gleich stärker nach E. Bei der E.W. Komp. ist das Diagramm zwischen P und M schwer zu erkennen. Bei beiden Komponenten sind die Minutenmarken bei M. nicht zu erkennen. Um 6h 17m treffen lange Wellen von etwa 1m. Periode ein. Nach M mehrere Schwingungen. Bei 9h 11-35 vielleicht Ankunft des Bebens von der andern Seite, kaum merkbare Ausbuchungen.
33	" 20	I u				21-22	28	0.1			
34	" 21	III r	P _i S M _E M _N C F	7	38 50 41 11 43 18 43 47 44.6	5 - 6 10 14 15	15 22 330 580	5 - 6 40 330	1.0 0.4 0.4	0.4	
35	" 22	I u				11-12	6 - 7	0.1			
35 a	" 24	I u						9	13		

Seismische Registrierungen in Tsingtau 1909.

11

Nummer	Datum 1909	Charakter	Phase	Zeiten (Greenwich) Zeit			Periode	Δ plitude	Δg_N	Δg_E	Bemerkungen.
				h	m	s			A_N	A_E	
36	Dez. 9	II u	P S L M F	15 44 4 52 14 59 16 10.5 18 0	5 11 23 18	5 13 100 59	5	0.4 0.2 0.4 0.4	0.4 0.3 0.4 0.4	0.3 0.2 0.2	Erste Bodenverrückung nach NW. Bei der E.W. Komp. ist der Beginn der langen Wellen nicht zu bestimmen. Schwierigkeiten treten auf 16h 15m, 20m, 28m, 32, 35, 35m. Von 17h an sind fast nur auf der N.S Comp. schwache Bewegungen zu sehen. S-P=8m 10s : 6500 klm.
37	" 9	I r	P S M F	21 53 50 59 50 22 6 23 0	5 10 18	6 40	14 40	0.5 0.2	0.3 0.2	0.2 0.2	Erste Bodenverrückung nach N. Das Maximum ist nicht ausgeprägt, ebenso lassen sich die ersten langen Wellen nicht genau er- kennen. P-S = 8m 10s : 2400 klm.
38	" 9	II r	P S M_N M_E M_E F	23 35 10 40 10 45.0 45.0 46.0 25 15	3-5 11 18 39 14	5 36 235 910 150	11 49 1.5	0.6 0.7 1.5	1.4 0.8 1.2	0.8 1.5 1.5	Erste Bodenverrückung nach N.W. ME 23h 45m ist durch Überlagerungen entstellt und keine reine Periodenschwingung die benach- barten Schwingungen haben alle 14s Periode und 150 Ausschlag. S-P = 5m 0s : 3.300 klm.



Nummer N	Datum 1909	Charakter (Charkter)	Phase I v	Zeiten (Greenwich Zeit)	Periode	A_N	A_E . milligal	Δg_N	Δg_E	Bemerkungen.
39	Dez. 14	I v		14 m s						Beben in Tsinansu gespürt. Geringe Dauer, kurze Perioden.
40	n 20	I r		21 59 7	3 - 4	2 - 3	2 - 3			Erste Bodenverrückung nach S. W.
			e	22 1 5	5 - 6	1 - 2	2 - 3			
			S	2 26	5 - 7	6 - 7	0.1	0.1		1300 klm?
			M	4						
			e							
			F							
41	" 22	I u		13 0 17	12	2 - 4	1 - 2	< 1		e fällt in die Stundenmarke.
			e	9 48	10		3			
			S_N	9 50	5 - 6					8400 klm?
			S_0							
			M	30						
			F	14 0						
42	" 23	I u		22 23.8				4 - 5		5800 klm?
			e	31.2						
			S	45.0						
			M	16						
			F	23 0				0.1		

Seismische Registrierungen in Tsingtau 1910.

13

Nummer	Datum 1910	Charakter	Phase	Zeiten (Greenwich Zeit)	Periode	A_N	A_E	Δg_N	Δg_E	Bemerkungen	
43	Jan. 1	II u	e S M C F	11 21.9 34.7 58.4 12 17. 12 54.	3 - 4 9 - 11 39	< 1 8 - 10 17	0.01	0.02		12500 klm?	
44	" 2		e F	12 41. 12 50.						Kleine Schwingungen, die bald in mikroseismischen Bewegungen untergehen.	
45	" 6	I r	e P S M C F	19 58 50 59 20 20 0 20 6 20 20	5 6 8 - 9	15 18 7 - 8	9 9 8 - 10	1.0 0.2	0.5 0.2	Erste Bodenverrückung nach S. O. 500 klm?	
46	" 8	I v	P S M A_1 A_2	14 49 54 14 50 3 14 50 53 14 59.5 15 24.3	11 12 9 1 1	300 360 790 9 7	180 240 900 10 8	5.0 5.0 19.4 18 14	3.0 3.3 22.2 20 16	Erste Bodenverrückung nach N. W. Das Beben wurde in Tsingtau und vielen Orten in Schantung bis Tsinanfu und südwärts bis Schanghai stark gespürt. Beschädigungen von Häusern sind nur wenig gemeldet. A_1 und A_2 sind kleinere im Tsingtau ausgelöste Lokalbeben.	
47	" 9	I r	e S M F	9 12.8 15.0 16.0 29.0	5 - 6	< 1	< 1			e geht in mikroseismischen Bewegungen unter.	
							18	25	0.4	Zahlreiche Schwebungen.	05

Seismische Registrierungen in Tsingtau 1910.

Nummer 1910	Datum 1910	Charakter	Phasen	Zeiten (Greenwich Zeit)	Periode	A_N	A_E	Amplitude	Δg_N	Δg_E	Bemerkungen
									milligal	milligal	
48	Jan. 15.	Ir	e	22 25.3	4 - 5	1 - 2	0.2	0.2	3100 klm?	0.5	3100 klm?
			S_N	30.1	7 - 8	5	0.2	0.2			
			S_0	30.1	5 - 6	8	7 - 8	0.1			
			L_N	31.8	13	9	6 - 7	0.1			
			L_0	31.8	14	12-13	0.1	0.2			
			M_N	34.2	11	10-12	0.1	0.2			
			M_0	34.2							
			C	37.							
			F	23 5.	8 - 9	3 - 4	4 - 5	0.1			
			e	17 33.5	11	14	28	0.2			
49	"	IV	M	35.6					900 klm?	0.5	900 klm?
			C	37.							
			F	55.	7 - 8	2 - 3	< 1	0.1			
			e	9 3.0	4 - 5	4 - 5	0.1	0.1			
			N	1.5	10-11	5 - 6	4 - 5	0.1			
			S	9.8							
			L	21.5							
			N	19.0							
			L	23.6	42	190	180	0.2			
			M	35.5	16	98	0.8	0.2			
50	"	IIu	M_{2N}	10 30.	6 - 7	2 - 3	0.1	0.1	o geht in mikroseismischen Bewegungen unter. 11700 klm?	0.3	o geht in mikroseismischen Bewegungen unter. 11700 klm?
			F	19 12.5	13	30	0.1	0.1			
			e	24.5	38	60	0.1	0.1			
			S	55.5							
			M	20 50.							
51	"	III	F								

Seismische Registrierungen in Tsingtau 1910.

15

Nummer	Datum 1910	Charakter	Phase	Zeiten (Greenwich Zeit)	Periode	A_N	A_E	Δg_N	Δg_E	Bemerkungen.	
										milligal	milligal
52	Jan. 30	I u	e	4 m s	4 - 5	2 - 3	2 - 3	0.2	0.2	e geht in mikroseismischen Bewegungen unter. 9500 klm?	
			S	6.0	9	6 - 7	4 - 5	0.2	0.1		
			M	16.8	10-20	3 - 4	14	0.1	0.1		
			C	31.5	27-28	36	38	0.1	0.1		
			F	37.0							
53	Febr. 2	II r	44.	44.						5300 klm?	
				5 10.							
			Pe	10	58.9	5 - 6	3 - 4	0.2	0.4		
			S	11	2.6	6	7 - 8	0.4	0.4		
			M _N	11	5.0	17	14	1.0			
			M ₀	11	6.0	16		30	0.2		
			M _{NN²}	11	6.2	14	27	0.3			
			M _{NN³}	11	9.8	11	20	0.3			
			C	11	13.						
			F	11	33.						
54	" 4	III u	e	14	11.47	5 - 6	1 - 2	4 - 5	0.1	8100 klm?	
			S _K	21.	9	5 - 6	7 - 8	0.5	0.5		
			S ₀	21.17		7 - 8		3 - 4	0.1		
			L	29.5							
			M ₁	34.0	28	44			0.1		
			M ₂	37.0	26	76			0.2		
			M ₃	38.4	27-28	52	57	0.1	0.2		
			C	40.							
			F	42.							



Zahl Nr.	Datum 1910	Charakter	Phase	Zeiten (Greenwich Zeit)	Periode	A_N	A_E	Δg_N	Δg_E	Bemerkungen
								milligal	milligal	
55	Febr. 4	I u	e	17 48.5	3 - 6	1 - 2	3 - 4	0.3	1.1	8000 klm?
			S	57.9	10	3 - 4	4 - 5	0.1	0.1	
			L	18 17.						
			M_0	18 23.4	19					
			M_N	18 27.2	17	8	16	0.1	0.1	
			C	28.7						
			F	40.						
56	" 4	I u	e	18 44.7						8000 klm?
			S	53.7						
			F	19 45.						
			M_0	20 27.1						
			M_N	29.4						
			C	45.						
			F	7 59	28					
57	" 4	I u	e	8 2	20	7 - 8	5 - 6	0.4	0.9	1000 klm?
			S	3 10			8 - 10	0.3	0.3	
			L	4 20						
			M_0	5.1						
			M_N	24						
			C	13						
			F	8 - 9	12					
58	" 10	I r	e							Erste Bodenverrückung nach N. O. 1500 klm?
			S_N	18 13	24					
			S_0	15	56					
			M_N	15	51					
			M_0	18 45	10					
				19 4	11					
59	" 12	II r	e							
			S_N	18	13					
			S_0	15	56					
			M_N	15	51					
			M_0	18	45					
				19	4					
				24	3.3					
				153	2.6					

Seismische Registrierungen in Tsingtau 1910.

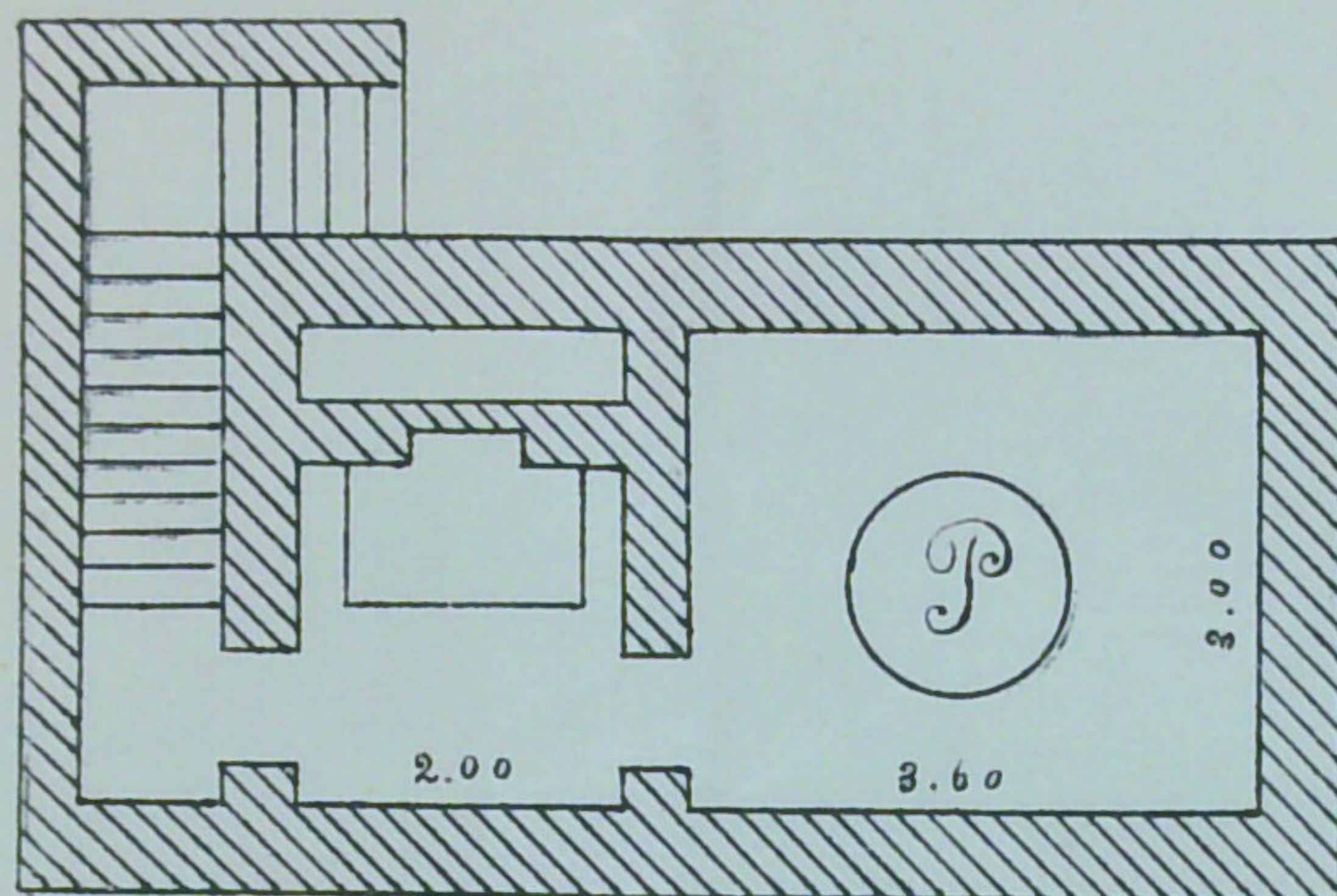
17

Zahl Kommma Zeit 1910	Charakter	Phase	Zeiten (Greenwich Zeit)	Periode	Amplitude		Δg_N	Δg_E	Bemerkungen.
					A_N	A_E			
60	Febr. 13	I r	e S L M C F	16 50.40 55.30 56.7 58.5 59.2 17 14.	16 m s 2 54. 58.	13 16 - 17 16 17 14. 2 54. 58.	15 0.1 29	0.1 0.2	3000 klm?
61	" 18		e F	23	33.4 38.6 46.9	11	2 - 3	2 - 3	2000 klm?
62	" 23	I r	e M F	14	32.5 36.23 38.7 40.17	6 9 11 14 - 11	11 10 20 43	0.6 0.2 0.3 0.4	0.6 0.2 0.3 0.4
63	" 27	I r	P e S L M C F	15	12				Erste Bodenverrückung nach NO. 2900 klm?
64	" 28	I u	e L M _N M ₀ C F	21	18.19 37.3 41.6 39.0 47. 22	6 - 7 15 13 - 14 6.	3 - 4 29 14	0.1 0.3 0.1	7000 klm?

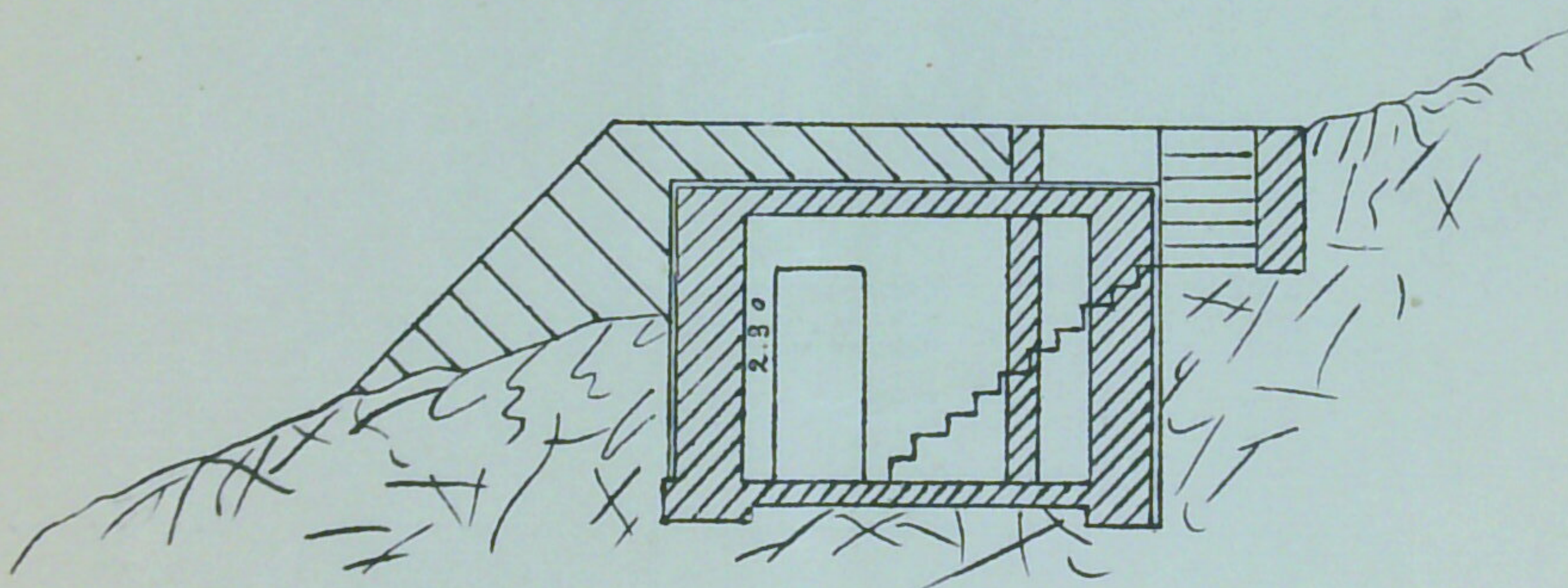
Seismische Registrierungen in Tsingtau 1910.

Nummer	Datum 1910	Charakter	Phase	Zeiten (Greenwich Zeit)	Periodo	Amplitude		Δ_{SE}^{GE} milligal	Bemerkungen.
						A_N	A_E		
65	März 2	e M	e F	14 56.0 15 0.0	17	7 - 8	0.1	6400 klm?	
66	" 25	I u	e M	16 42.0 17 23.					
67	" 25	I r	e S_N^0 L	18 40.3 44.2 43.8	9	18	0.5	Einsatz nicht deutlich auszumachen, Maximum ist stark überlagert 2600 klm?	
68	" 30	I u	e S^1 M_1 M_2 M_3 C F	17 5.3 14.8 32.5 38.3 48.5 49. 19 10.	4 - 5 12 18 19 - 20 24 40 18	3 - 4 5 22 32 40 40 20	0.3 0.1 0.1 0.2 0.1 0.1 0.3	Erste Bodenverschiebung nach W. 8200 klm?	
69	" 31	I u	e L M_1 M_2 M_3 F	18 37.5 19 0. 19 6.0 19 41.5 20 8.5 20 50.	3 - 4 25 20 - 24 18	2 - 3 11 20 20	0.3 0.1 0.1	Erste Bodenbewegung nach S.O. Die einzelnen Phasen sind sehr undeutlich. S. nicht zu erkennen, durch Schwingungen mit kurzer Periode stark überlagert. 8200 klm?	

Seismographenraum



Grundriss



Aufriss

